

مدل سازی ریاضی و بررسی پایدار پذیری حرکت کایت مولد در فضا

مشکل تولید انرژی از منابع فسیلی به علت محدودیت منابع، آلودگی زیاد و تخریب محیط‌زیست، باعث جلب توجه پژوهشگران به سمت منابع تجدیدپذیر از قبیل انرژی‌های بادی، خورشیدی، هیدروالکتریک، زمین‌گرمایی و ... شده است. در این راستا یکی از ایده‌های جدید جهت تولید انرژی الکتریکی از انرژی تجدیدپذیر باد، ایده کایت مولد (*kiteGen*) است. این پژوهه اولین بار در شهر تورینو ایتالیا شروع شد. در این روش جهت تولید حداکثر انرژی نیاز به کنترل مسیر صحیح است و لازمه کنترل صحیح، داشتن یک مدل ریاضی دقیق و تحلیل صحیح دینامیکی از آن است. این مقاله به مدل سازی ریاضی و بررسی کنترل پذیری و مشاهده‌پذیری حرکت کایت حول یک مسیر نامی که در منابع دیگر پیشنهاد شده است می‌پردازد. نتایج این مدل سازی نشان می‌دهد که حرکت کایت حول مسیر ذکر شده کنترل پذیر و مشاهده‌پذیر و در نتیجه حرکت کایت در فضا پایدار پذیر است.

صدرا پور طاهری^۱
دانشجوی کارشناسی ارشد

علی رحمانی هنزاکی^۲
استادیار

حسین دریجانی^۳
استادیار

واژه‌های راهنمای: انرژی بادی، مدل سازی ریاضی، دینامیک، کنترل پذیری، مشاهده‌پذیری، پایدار پذیر

۱- مقدمه

یکی از راه حل‌های غلبه بر مشکلات ناشی از به کار گیری منابع فسیلی (از جمله هزینه‌های زیاد، آلودگی محیط‌زیست و محدودیت منابع) جایگزین کردن منابع تجدیدپذیر ارزان و قابل دسترسی هست. اگرچه فناوری استفاده از منابع تجدیدپذیر هنوز به حدی نرسیده که بتوان از منابع فسیلی به طور کامل صرف نظر کرد، اما این روند روز به روز در حال رشد بوده و امید است تا در سال‌های آینده استفاده از منابع فسیلی به طور کامل منسخ شود [۱-۲]. در اینجا به معرفی یک دسته جدید از مولدهای الکتریکی بادی که روند تولید انرژی در این دستگاه در دو فاز کشش و بازیابی است، پرداخته می‌شود و هر کدام از آن‌ها به طور

^۱ نویسنده مسئول، دانشجوی کارشناسی ارشد، دانشکده مهندسی مکانیک، دانشگاه تربیت دبیر شهید رجایی، تهران
pourtaheri.sadra@yahoo.com

^۲ استادیار، دانشکده مهندسی مکانیک، دانشگاه تربیت دبیر شهید رجایی، تهران a.rahamani@srttu.edu

^۳ استادیار، دانشکده مهندسی مکانیک، دانشگاه شهید باهنر کرمان

مختصر بیان خواهد شد. در انتهای نیز به بررسی مشاهده‌پذیری، کنترل‌پذیری و درنهایت به بررسی پایداری‌پذیری حرکت کایت مولد حول مسیر نامی پرداخته می‌شود. کایت مولد از یک بادبادک که توسط یک مجموعه کابل به یک قرقه متصل است تشکیل می‌شود. جریان باد باعث اوج گرفتن کایت یا بادبادک شده و آن هم یک نیروی کششی قابل توجه را در کابل ایجاد می‌نماید. این نیرو با به گردش درآوردن یک قرقه و درنتیجه مولد الکتریکی متصل به آن باعث تولید انرژی الکتریکی می‌گردد. فاز تولید انرژی تا انتهای مرحله کشش ادامه داشته و سپس با تغییر وضعیت کایت، قرقه اقدام به جمع نمودن کابل و درنتیجه پایین کشیدن کایت می‌کند. از آنجاکه مقاومت هوا در وضعیت جمع نمودن کایت بسیار کمتر از مرحله اوج گیری آن است، اختلاف انرژی گرفته شده (در مرحله اوج گیری) و انرژی صرف شده (در مرحله بازیابی) مثبت و قابل توجه است. از آنجاکه این کایتها در ارتفاع بالا قابل استفاده است، مقدار انرژی قابل دریافت بیشتر از برج‌های بادی است. همچنین این کایتها ارزان‌تر بوده و نیاز به سرمایه‌گذاری کمتری دارند.

۲- فاز کشش و بازیابی

انرژی در این دستگاه در فاز اول که کشش است تولید می‌شود. در این مرحله حرکت طناب‌های متصل به کایت توسط باد قرقه که طناب‌ها دور آن پیچیده شده است به حرکت درآورده و این قرقه باعث به حرکت درآوردن مولدی که متصل به آن است، می‌شود. زمانی که طناب‌ها به حداقل کشش خود برسند، مرحله اول به اتمام رسیده و مرحله دوم که درواقع فاز بازیابی است شروع می‌شود.



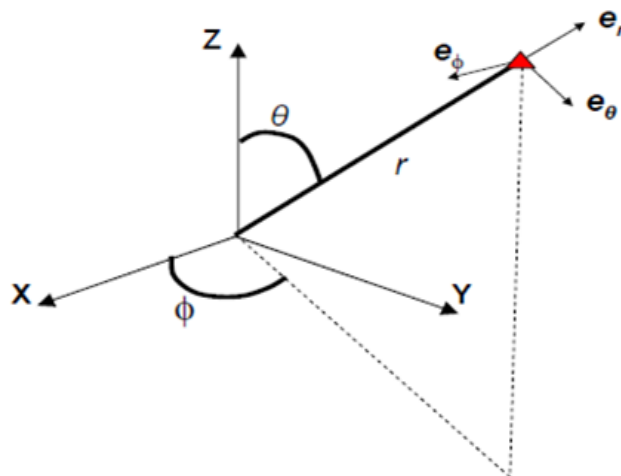
شکل ۱- یک شمای کلی از کایتمولد [۳]

در مرحله بازیابی تقریباً در حدود دوازده درصد انرژی تولیدی در مرحله رفت صرف برگرداندن کایت به حالت اولیه می‌شود. عمل بازیابی توسط جرثقیل‌های برقی به نام وینچ انجام می‌شود. شکل (۱) یک نمای کلی از کایت مولد را نشان می‌دهد [۳].

۳- تحلیل دینامیکی و مدل‌سازی ریاضی حرکت کایت در فضا

تحلیل دینامیکی دستگاه مطابق با آنچه در شکل (۲) نمایش داده شده است در دستگاه مختصات کروی انجام می‌شود. در این تحلیل کایت به صورت یک جرم مرکز در فضا در نظر گرفته می‌شود، و تحلیل دینامیکی با استفاده از قانون دوم نیوتون انجام می‌پذیرد [۱-۴].

شکل (۲) دو دستگاه کروی (محلی)، کارتزین (مرجع) و ارتباط بین این دو دستگاه از طریق بردارهای یکه e_r, e_θ, e_ϕ که در امتداد محورهای r, θ و ϕ دستگاه کروی، و همچنین بردارهای یکه e_x, e_y, e_z در امتداد محورهای X, Y, Z دستگاه کارتزین را نشان می‌دهد. بردارهای یکه e_θ, e_ϕ, e_r جهت‌گیری دستگاه مختصات کروی و توصیف حرکت کایت مولد در فضا را بر عهده دارند. رابطه (۱) ارتباط بردارهای یکه در دستگاه کروی و بردارهای یکه در دستگاه کارتزین را تعریف می‌نماید.



شکل ۲- نمایش دستگاه مختصات مرجع و کروی

$$\begin{bmatrix} e_\theta \\ e_\phi \\ e_r \end{bmatrix} = \begin{bmatrix} \cos\theta \cos\phi & -\sin\phi & \sin\theta \cos\phi \\ \cos\theta \sin\phi & \cos\phi & \sin\theta \sin\phi \\ \sin\theta & 0 & \cos\theta \end{bmatrix} \quad (1)$$

همچنین با نوشتن قانون دوم نیوتون برای کایت در دستگاه مختصات کروی، معادلات حرکت کایت در مختصات کروی، به شکل دسته معادلات شماره (۲) به دست می‌آید. که در این معادله m جرم کایت، r طول طناب متصل به کایت، θ و ϕ به ترتیب زوایای کایت با محورهای عمودی و افقی می‌باشد، این معادلات بیان‌گر قانون دوم نیوتون که، حاصلضرب جرم جسم در شتاب آن، و بیان کننده نیرو است می‌باشد. در این معادلات مولفه‌های نیروهای واردہ به جسم در امتداد سه محور r, θ و ϕ را نشان می‌دهد.

$$\begin{aligned} m(r\ddot{r} - r\dot{\theta}^2 - r\dot{\phi}^2 \sin^2\theta) &= F_r \\ m(r\ddot{\theta} - r\dot{\phi}^2 \sin\theta \cos\theta + 2r\dot{\theta}\dot{\phi}) &= F_\theta \\ m(r\ddot{\phi}\sin\theta + 2r\dot{\phi}\dot{\theta}\cos\theta + 2r\dot{\phi}\sin\theta) &= F_\phi \end{aligned} \quad (2)$$

در این معادلات، نیروهای خارجی وارد بر کایت شامل برآیند نیروهای وزن و آئرودینامیک به ترتیب در سه راستای r و φ می‌باشند، که هر کدام از این نیروها به ترتیب در جهت طول طناب متصل به کایت، محوری که در جهت افزایش زاویه θ و محوری که از ضرب خارجی بردار یکه در جهت طول طناب و θ می‌باشند. نیروی وزن که در اثر در نظر گرفتن جرم خود کایت ظاهر می‌شود و نیروی آئرودینامیک برآ آنقدر نسبت به سایر نیروها بزرگتر می‌باشد که به راحتی می‌توان از این نیرو به عنوان نیروی موثر در پرواز کایت استفاده کرد و از سایر نیروها صرفنظر کرد [۲].

$$F^{tot} = F^{gra} + F^{aer} = -mg\cos\theta e_r + mg\sin\theta e_\theta + Le_n + De_l \quad (3)$$

با توجه به معادله (۳) نیروها در دستگاه کروی به شکل زیر قابل بیان می‌باشند.

$$F_\theta = F^{tot} e_\theta; F_\varphi = F^{tot} e_\varphi; F_r = F^{tot} e_r \quad (4)$$

۴- نیروهای آئرودینامیکی و جهت‌گیری آن‌ها

همان‌گونه که در آئرودینامیک بیان می‌شود، این نیروهای حاصل از حرکت یک متحرک در هوا شامل نیروهای برآ^۱ و نیروی پسا^۲ است که با نماد L و D و به صورت زیر نمایش داده می‌شوند:

$$\begin{aligned} L &= 0.5\rho A C_d |V_e|^2 \\ D &= 0.5\rho A C_l |V_e|^2 \end{aligned} \quad (5)$$

که در آن ρ چگالی سیال (در اینجا هوا)، A سطح مؤثر کایت، C_d و C_l به ترتیب ضرایب پسا و برآ است و درنهایت $|V_e|$ سرعت مؤثر است که به صورت زیر نمایش داده می‌شود

$$V_e = V - V_k \quad (6)$$

که در آن V_k سرعت کایت در فضا است و در مختصات کروی به صورت زیر در فضا نمایش داده می‌شود:

$$V_k = (r\dot{\theta})e_\theta + (r\dot{\varphi}\sin\theta)e_\varphi + \dot{r}e_r \quad (7)$$

در این رابطه، V سرعت باد است که به صورت فرضی در جهت محور X دستگاه کارتزین انتخاب شده است و با استفاده از رابطه زیر می‌توان این سرعت را در دستگاه کروی به صورت زیر بیان کرد:

$$V = v e_X = v A_1 \begin{bmatrix} e_\theta \\ e_\varphi \\ e_r \end{bmatrix} = v \cos\theta \cos\varphi e_\theta - v \sin\varphi e_\varphi + v \sin\theta \cos\varphi e_r \quad (8)$$

از این رو مقدار سرعت موثر برابر خواهد بود با

$$|V_{(e)}| = [(v\cos\theta\cos\varphi - r\dot{\theta})^2 + (v\sin\varphi + r\dot{\varphi}\sin\theta)^2 + (v\sin\theta\cos\varphi - \dot{r})^2]^{0.5} \quad (9)$$

¹ Lift

² Drag

همان طور که می‌دانیم نیروی پسا همواره در جهت سرعت نسبی و نیروی برآ عمود بر پسا و رو به بالا است. پس می‌توان نوشت:

$$\mathbf{e}_t = \frac{\mathbf{v}_e}{|\mathbf{v}_e|} \quad (10)$$

اگرچه می‌توان در فضایی شمار بردار عمود بر یک بردار رسم کرد، اما در اینجا بردار عمود بر سطح زمین و رو به بالا مدنظر است. از این رو بردار یکه \mathbf{e}_t وقتی که روی کایت به سمت باد است، از سمت چپ به راست نوک بال تعریف می‌شود [۴]. بدین صورت جهت نیروی برآ را می‌توان به صورت حاصل ضرب خارجی بردار \mathbf{e}_t در \mathbf{e}_l در معرفی کرد.

$$\mathbf{e}_n = \mathbf{e}_l \times \mathbf{e}_t \quad (11)$$

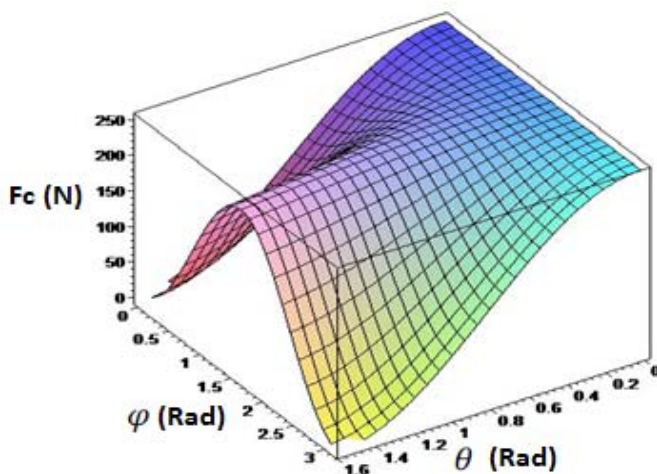
با تکمیل معادلات دینامیکی می‌توان پایداری کایت را مورد تحلیل و بررسی قرارداد.

۵- پایداری کایت حول مسیر نامی

جهت بررسی پایداری کایت ابتدا باید ماتریس‌های کنترل‌پذیری را با استفاده از معادلات دینامیکی به دست آورد. اما در اینجا به علت آن که معادلات به دست آمده غیرخطی است ابتدا معادلات باید حول یک مسیر نامی خطی شده و سپس با به دست آوردن ماتریس‌های کنترل‌پذیری به بررسی کنترل‌پذیری، مشاهده‌پذیری و درنهایت به بررسی پایداری‌پذیری آن پرداخت. مسیر نامی منتخب جهت خطی سازی مسیری است که کشش کابل‌های متصل به کایت در حالتی که زوایای θ و φ ثابت می‌باشند، ماکزیمم باشد. کشش کابل دستگاه از رابطه زیر به صورت به دست می‌آید.

$$F_c = F_r + m(\ddot{r} - r\dot{\theta}^2 - r\dot{\varphi}^2 \sin^2 \theta) \quad (12)$$

با توجه به این که در این مسئله کشش کابل از اهمیت ویژه‌ای برخوردار است، تغییرات کشش کابل (با طول ثابت) بر حسب زوایای ثابت در شکل (۳) نشان داده می‌شود. همان‌طور که در این شکل مشاهده می‌شود محورهای روی صفحه افقی بر حسب رادیان است و به ترتیب بیان کننده زوایای φ و θ است. محور عمودی نیز مقادیر کشش کابل را بر حسب نیوتون بیان می‌کند. به راحتی از این شکل می‌توان دریافت که ماکزیمم کشش کابل در ($\theta=0^\circ$) و مستقل از مقدار φ است. در این حالت کایت به صورت عمود رو به بالا حرکت می‌کند. بنابراین مسیر نامی منتخب را ($\theta=\frac{\pi}{4}$ ، $\varphi=\frac{\pi}{4}$) و ($\theta=100^\circ$ ، $\varphi=72^\circ$) در نظر می‌گیریم و خطی سازی را حول این مسیر انجام می‌شود.



شکل ۳ - نمودار نیروی کشش کابل کایت بر حسب θ و φ و برای طول ثابت طناب

با تغییر متغیرهای

$$\begin{array}{lll} x_1 = \theta & \dot{x}_1 = \dot{\theta} = x_2 \\ x_2 = \dot{\theta} & \ddot{x}_1 = \ddot{\theta} \\ x_3 = \varphi & \frac{d}{dt}(x_i) \rightarrow \\ x_4 = \dot{\varphi} & \dot{x}_2 = \ddot{\theta} \\ & \dot{x}_3 = \dot{\varphi} = x_4 \\ & \dot{x}_4 = \ddot{\varphi} \end{array} \quad (13)$$

و با توجه به معادله (۲) می‌توان مقادیر مشتق دوم r ، θ و φ به دست آورد و در معادلات فضایی حالت جایگزین کرد.

$$\ddot{r} = \frac{1}{m} F_r + r \dot{\theta}^2 + r \dot{\varphi}^2 \sin^2 \theta \quad (14)$$

$$\ddot{\theta} = \frac{1}{m} F_\theta + r \dot{\varphi}^2 \sin \theta \cos \theta - 2 \dot{r} \dot{\theta} \quad (15)$$

$$\ddot{\varphi} = \frac{1}{r \sin \theta} \left(\frac{F_\varphi}{m} - 2r \dot{\varphi} \dot{\theta} \cos \theta - 2\dot{r} \dot{\varphi} \sin \theta \right) \quad (16)$$

$$\frac{d}{dt}(x_i) = f_i \quad (17)$$

۶- کنترل پذیری و مشاهده پذیری

نمایش سیستم با معادلات فضایی حالت به صورت زیر را در نظر بگیرید:

$$\dot{\mathbf{x}}(t) = \mathbf{A}\mathbf{x}(t) + \mathbf{B}u(t) \quad (18)$$

$$\mathbf{y}(t) = \mathbf{C}\mathbf{x}(t) + \mathbf{D}u(t) \quad (19)$$

سیستم داده شده با معادلات (۱۹) و (۱۸) را کنترل پذیر حالت گویند، اگر برای هر زمان t_0 ، بتوان یک بردار ورودی $u(t)$ را به گونه‌ای پیدا کرد که هر حالت اولیه $x(t_0)$ را به هر حالت نهایی $x(t_1)$ در زمان محدود انتقال دهد.

سیستم داده شده با معادلات (۱۷) و (۱۸) را برابر $T > t_0$ مشاهده پذیر حالت می‌گویند، اگر برای هر t_0 و یک T ، هر بردار حالت $x(t_0)$ را بتوان از داده‌های بردار خروجی $y(t)$ بر روی $t_0 < t < T$ تعیین کرد. به عبارت دیگر سیستم را کاملاً مشاهده پذیر گویند که در آن هر انتقال حالت سیستم درنهایت بر خروجی تأثیر گذارد.

بدین ترتیب به راحتی می‌توان ماتریس‌های کنترل پذیری و مشاهده پذیری را به دست آورد.

$$\mathbf{A} = \frac{d}{dx_i} (f_j); i, j = 1, 2, 3 \quad (۲۰)$$

$$\mathbf{B} = \frac{d}{du} (f_i); i = 1, 2, 3 \quad (۲۱)$$

حال با در نظر گرفتن زاویه φ به عنوان ورودی و r و θ به عنوان خروجی‌ها

$$h_1 = r; h_2 = \theta; h_3 = \varphi \quad (۲۲)$$

$$\mathbf{C} = \frac{d}{dx_i} (h_j); i, j = 1, 2, 3 \quad (۲۳)$$

$$\mathbf{D} = \frac{d}{du} (h_i); i = 1, 2, 3 \quad (۲۴)$$

با استفاده از معادلات شماره (۱۶)، (۱۷)، (۱۹) و (۲۰) به راحتی ماتریس‌ها به صورت زیر به دست می‌آیند.

$$\mathbf{A} = \begin{bmatrix} 0 & 1 & 0 & 0 & 0 & 0 \\ 0 & -9.54 & -37.71 & -3186 & 44.64 & 3186 \\ 0 & 0 & 0 & 1 & 0 & 0 \\ 0.001467 & 0.1422 & 0.0549 & 13.5 & 0.4466 & -2.7 \\ 0 & 0 & 0 & 0 & 0 & 1 \\ -0.00432 & -0.2844 & 0.0288 & -5.4 & -0.0288 & 16.2 \end{bmatrix}$$

$$\mathbf{B} = \begin{bmatrix} 0 \\ 0 \\ 0 \\ -0.217 \\ 0 \\ -0.217 \end{bmatrix}, \mathbf{C} = \begin{bmatrix} 1 & 0 & 0 & 0 & 0 & 0 \\ 0 & 0 & 1 & 0 & 0 & 0 \\ 0 & 0 & 0 & 0 & 1 & 0 \end{bmatrix}, \mathbf{D} = \begin{bmatrix} 0 \\ 0 \\ 0 \end{bmatrix}$$

$$Co = \text{rank} [\mathbf{B} \quad \mathbf{AB} \quad \mathbf{A}^2\mathbf{B} \quad \mathbf{A}^3\mathbf{B} \quad \mathbf{A}^4\mathbf{B} \quad \mathbf{A}^5\mathbf{B}] \quad (۲۵)$$

$$Ob = \text{rank} \begin{bmatrix} \mathbf{C} \\ \mathbf{CA} \\ \mathbf{CA}^2 \\ \mathbf{CA}^3 \\ \mathbf{CA}^4 \\ \mathbf{CA}^5 \end{bmatrix} \quad (26)$$

با نوشتن معادلات (۲۵) و (۲۶) مشاهده می شود که هر دو ماتریس \mathbf{C} و Ob از مرتبه کامل بوده پس سیستم حول یک مسیر با r ، θ و φ ثابت قابل کنترل بوده و پایدارپذیر است.

۷- نتیجه گیری

از مباحث ارائه شده مشاهده می شود که به کارگیری دستگاه کایت مولد، جایگزین خوبی برای ساختهای فسیلی جهت تامین انرژی مورد نیاز بشر یافت. با توجه به محاسبات انجام شده در قسمت های فوق نتیجه می شود که پرواز دستگاه کایت مولد در مسیری که در آن متغیرهای r ، θ و φ ثابت است قابل کنترل بوده و این پرواز در این مسیر پایدار است و یک کنترل صحیح می تواند دستگاه را در حالت تعادل نگه دارد.

مراجع

- [1] Canale, M., and Fagiano, L., “Power Kites for Wind Energy Generation Fast Predictive Control of Tethered Airfoils”, IEEE Control Systems Magazine, December, (2007).
- [2] Argatov, I., Rautakorpi, P., and Silvennoinen, R., “Estimation of the Mechanical Energy Output of the Kite Wind Generator”, Vol. 34, No. 6, pp. 1525–1532, (2009).
- [3] Canale, M., Fagiano, L., Milanese, M., and Ippolito, M., “Kitegen Project: Control as Key Technology for a Quantum Leap in Wind Energy Generators”, American Control Conference, 9-13 July, New York, USA, pp. 3522 – 3528, (2007).
- [4] Diehl, M., “Real-time Optimization for Large Scale Nonlinear Processes”, Ph.D. Thesis, University of Heidelberg, Germany, (2001).
- [5] Canale, M., Fagiano, L., Ippolito, M., and Milanese, M., “Control of Tethered Airfoils for a New Class of Wind Energy Generator”, Proc. 45th IEEE Conf. Decision and Control, 13-15 Dec., San Diego, USA, pp. 4020 – 4026, (2006).
- [6] Fagiano, L., Milanese, M., and Piga, D., “High Altitude Wind Generation”, IEEE TRANS on Energy Conversion, Vol. 25, No. 1, pp. 168-180, (2010).

فهرست نشانه های انگلیسی

A: سطح مؤثر کایت

A, B, C و *D*: ماتریس های ضرایب معادلات فضای حالت

C_d و *C_l*: به ترتیب ضرایب پسا و برآ

F^{gra} و *F^{aer}*: به ترتیب نیروهای آئرودینامیک و نیروهای گرانشی

Fc: نیروی کشش کابل کایت

F_r و *F_θ*: نیروهای خارجی وارد بر کایت، در دستگاه کروی شامل نیروهای وزن و آئرودینامیک

L و *D*: به ترتیب نیروهای برآ و نیروی پسا

V: سرعت باد

V_k: سرعت کایت در فضا

Ve: بردار سرعت مؤثر کایت شامل اختلاف سرعت کایت و سرعت باد

ρ: چگالی هوا

Abstract

The drawback of energy production from fossil fuels, which is due to resource limitations, high pollution and degradation of the environment, causes to attract researchers' attention to renewable sources of energy such as wind, solar, hydroelectric, geothermal, etc. In this article, one of the new ideas for generating electrical energy from wind called KiteGen is investigated. The project began in Torino, Italy for the first time. To produce the maximum energy, it is necessary to properly control the trajectory of kite, which needs a precise mathematical model and dynamic analysis of the kite behavior. This paper presents mathematical modeling and study of controllability and observability of Kite moving along the path that has been suggested somewhere else. The results of this research show that the kite around the path is controllable and observable, and thus the kite is stable in space.